

建設省土木研究所 服部 泰英

1. まえがき

昭和58年5月26日正午頃、秋田、青森両県の県境沖の日本海で発生した地震の規模は、気象庁によればマグネチュード7.7、震源の位置は北緯40.4°、東経138.9°、震源の深さは5kmであり、秋田、能代で震度5の強震である。一般被害は、死者及び行方不明者104人、負傷者293人、家屋の全壊1447棟、半壊2805棟で、かけ崩れによる被害は、秋田県で42箇所、青森県で17箇所発生した。特に、かけ崩れが多発した秋田県八竜町を中心とした砂丘地帯について調査を行った。

2. かけ崩れ

今回のかけ崩れ被害は、図-1の通り、秋田県における被害は、能代市、八竜町を中心とした日本海沿岸の砂丘堆積物、男鹿半島の沿岸部の段丘堆積物、米代川の沿川、雄物川の沿川の段丘堆積物等のオホ紀に形成された4地域に集中している。また、青森県における被害は日本海沿岸の段丘堆積物地帯である。被害箇所数は表-1の通り秋田県で42箇所、青森県で17箇所である。そのうち人家に被害のあつたもの14箇所、全壊半壊等45棟、これはかけ崩れ周辺の人家が直接地震動によつて被害を受けていたものが大半である。また、人家に被害を与えたか、したもの45箇所とよぶ。ついで、かけ崩れによる被害は少なかつた。

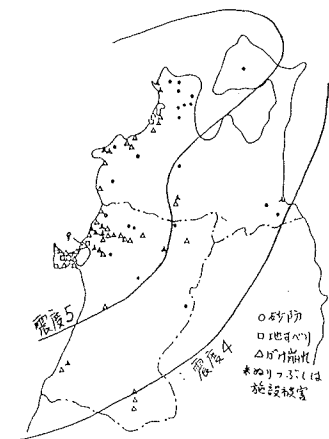


図-1. 被害位置図

表-1 かけ崩れ被害

3. 砂丘地帯のかけ崩れ災害

調査地は、八郎湯と日本海を境とする約2km幅でほぼ南北に延びる砂州上に形成された。能代市、八竜町、若美町の低丘陵地である。低丘陵地の西側斜面は緩く主要農作物であるメロン畑で、東へ南側斜面は急で崖の下には人家が密集している。砂丘を形成している地質はオホ紀現世の沖積層からなり、現在でも地表の変動が続いている。

本地域の植生は、ブナクラス城自然植生のうち沿岸部風衝地にみられるエゾイタヤ、シナノキ群落及びその風衝側北へ西斜面に成立するカシワ群落であろうと思われる。ただし、災害地の砂丘東側に分布するものは、エゾイタヤ、シナノキ群落である。

概況調査は、17地区について地表調査（亀裂、地形、植生）を実施した。その結果は表-2に示す。

県名	秋田県	青森県	合計
発生数	42	17	59
人家に被害の有つたもの	10	4	14
人家に被害の無つたもの	32	13	45
被害状況			
人の被害	0	0	0
全壊	15	3	18
半壊	9	4	13
一部破損	6	8	14
施設被害件数			
急傾斜地崩壊防止施設	8	6	14

表-2. 地表調査結果一覧表

地区名	斜面形状	方位	構成地質 大標高(m)	斜面傾斜(°)				頭部角型		崩壊規模(平均)			植生	
				上	中	下	中・下 平均	表落 量	縫合	幅m	長さm	高さm		
地壁崩1	平滑斜面	NE	27.5	-	3.3	3.4	3.3	1.1	5.5~7.0	1.30	3.0	21.5	イタヤカエデ、トリコ ケヤキ	
* 2	*	E	30.0	-	3.5	3.5	3.5	1.5	6.0~6.5	2.00	3.0	21.0	ニセアカシヤ	
芦崎1	*	SE	27.5	1.3	3.6	3.0	3.2	1.3	4.5~5.5	2.50	3.0	22.5	イタヤカエデ、シノダケ サザンカ	
* 2	*	N	15.0	-	3.3	3.3	3.3	0.5	5.0~5.5	9.0	1.5	9.5	ソメイヨシノ	
追迫	*	E	20.0	1.6	3.5	3.2	3.2	2.0	4.0~5.0	8.0	2.0	16.0	クロマツ	
* 1	*	SE	16.5	1.8	3.7	3.3	3.5	*	5.0~6.0	5.0	2.2	13.0	イタヤカエデ、ケヤキ モミジ	
* 2	*	E	21.0	*	3.4	3.5	3.3	0.8	5.5~6.5	5.0	3.0	18.0	イタヤカエデ、コナラ	
大谷地	*	NE	15.0	5	3.5	4.2	3.8	0.6	*	3.0	1.6	11.0	シノダケ モミジ	
* 1	*	S	19.0	2.0	*	3.3	3.4	2.0	5.0~6.0	3.0	2.0	11.5	イタヤカエデ、オニグルミ モミジ	
* 2	*	SE	24.0	2.7	4.0	4.0	4.0	1.5	4.2	5.0	2.5	16.5	イタヤカエデ モミジ	
砂開沢	*	*	18.0	-	3.1	3.5	3.4	2.3	5.5~6.5	5.0	1.3	10.0	シノダケ モミジ	
中台	*	S	18.5	1.5	3.0	4.0	3.5	2.1	5.0~6.5	2.00	2.0	11.5	ボブリ、クロマツ	
黒岡1	*	NE	28.0	-	3.7	3.4	3.5	0.7	6.5	5.0	3.0	20.0	ニセアカシヤ、クロマツ	
* 2	*	E	18.5	1.5	4.0	4.0	4.0	1.2	4.0~5.0	2.5	1.5	10.5	クロマツ、スギ	
* 3	*	S	32.0	-	3.9	3.4	3.6	3.3	6.0~6.5	1.30	4.0	24.0	クロマツ	
五明光1	*	SE	11.0	1.2	3.3	3.3	3.3	0.5	5.0~6.5	1.00	1.0	5.0	ニセアカシヤ、クロマツ	
* 2	*	N	18.0	-	3.4	3.4	3.4	0.4	4.5	8.0	2.0	12.0	スワロ 日本	
平均値				21.14	15.9	3.51	3.51	34.8	1.4	5.55	9.38	2.24	14.9	

斜面形状を大きくとらえれば、全ての地区が平衡斜面といえる。これは丘陵を構成する地質が均一な砂丘砂であるため、斜面の傾斜が砂の安息角に落ち着き、降水へ多くはすみやかに浸透し、地表水の集中化が起りにくく、したがって斜面の変状化は、地震による崩壊、風食、人為的切り取りによるが、最終的には平衡斜面となる。

斜面の被害は、低丘陵の傾斜変換点付近に数cmから3mの段差を伴う亀裂を生じ、その下方斜面内をほとんど乱すことではなく末端が数m押し出した断面形状を示している(図-4参照)。平面的には冠頭落差及び亀裂が同一標高ではほぼ直線的に連続している。

斜面災害地のほとんどは、斜面脚部を切り取られている。これは宅地の拡大、畠地の造成等によるが、構成地質が砂丘砂であるため、比較的作業が容易であり、これまでに大きな斜面災害にあたり経験がある。たれ止めと思われる。

斜面災害は、面向きの斜面は傾斜が緩く、17調査地点に限る。見山ば全くない。斜面災害の起りやすい斜面方位は17ヶ所の結果から東一角向きの斜面と看される。

崩壊頭標高は、1/100地形図の詰山取りで15~25m間の等高線間隔が概して密で、25m以上はらびて15m以下の等高線間隔が全般に粗である。五明光1の11mが最低、黒岡3の32mが最高、平均は21.14mである。

斜面傾斜は、亀裂より上部、亀裂から脚部間を概ね2分する代表的地形変換点をもつてそんより亀裂までを中部、そんより脚部変換点までを下部とし、亀裂から脚部変換点の傾斜を平均傾斜とした。上部傾斜：15.9°、中部傾斜：35.1°、下部傾斜：35.1°、平均傾斜：34.8°である。

頭部亀裂はらばに斜面全体の現状から比較的浅い板状のすべり面と考えられる。これは、太谷地、追泊2、砂間沢、芦崎等で確認される末端形状から推定可能である（図-3参照）。

崩壊の規模は、調査地17地区の平均値を示すと、

平均幅：93.8 m, 平均長さ：22.4 m, 平均高：14.9 m

亀裂が最も長く連続するのは、芦崎地区で340 m, ついで地蔵脇の330 mである。

4. 地蔵脇のがけ崩れ

この調査は、地震で多数の被害が発生した砂丘地帯の一つである地蔵脇の斜面崩壊地において、微地形と亀裂及び地震時の斜面安定計算等に必要な基礎資料を得るために行なった地盤調査である。

1. 亀裂調査（図-4参照）

斜面脚部の納屋裏は、地震前には約2 mの平場が有り、これが災害発生と同時に平場は土砂で埋めつくされた。納屋裏より水平距離で6.5 m間は33°, それより2 m間は25°で、この地形変化点でゆるやかに傾き、この付近が中腹に生じた約15 m巾の亀裂頭に当り、水平距離10 mにて最も大きな傾斜変換点となる。この間の傾斜は37°。4 m, 10°で最顶部亀裂とする。最顶部亀裂面の傾斜は55~75°、落差90 mあり、後背域はメロン畑とよぶ。高木成單列状に分布している。

2. 植生調査

調査地北側斜面には、イタヤカエデ、サトイネリコが優占する天然性二次林が分布し、南側斜面には、ニセアカシヤの人工林が分布する。急傾斜地より上段の砂丘平坦地はメロン畑として利用されており、畠地から斜面の変る場所にはポプラの高木成單列状に分布している。

植生と崩壊との関係については、地蔵脇及び周辺の崩壊地の観察によると特定の植物群落において、崩壊が多発しているということは確認されようか、たゞから考へて、植物の種類と崩壊との関係は無いものと思われる。しかし、今回のようないずれの崩壊は、調査地を図-1のようないずれのモデルで考へてみると、地震時に高木は前後左右に搖るることにより根系が密は場合には、搖山が

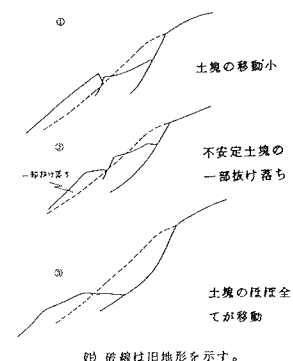


図-2. すべりの発達過程

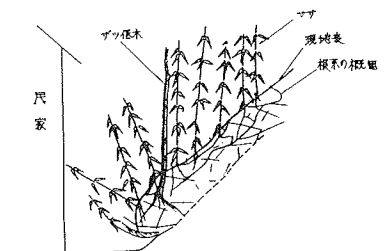


図-3. 末端状況図

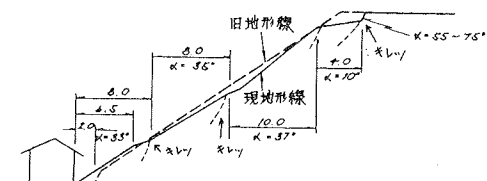


図-4 地蔵脇の断面図

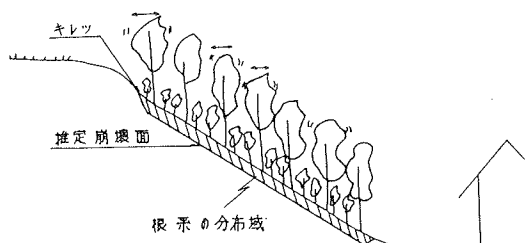


図-5 崩壊地モデル

根系分布全體に広がり土塊ごと一体となる、ア板状に崩落する。この場合、崩壊の頭部は傾斜の変換点付近で多く発生している。

③. 地盤調査の結果

サウンディングによると、 $\gamma C = 2$, $\gamma S_w = 0$ 、電気探査比抵抗 / 1000 $\Omega \cdot m$ の付近は、地表面から最深でも 2.5 m、平均的に 1.5 m ラインがすべり面層として判定される。当層の判定は、亀裂部におけるテストピット断面の観察、土壤硬度試験から、当層と下位層では、根系密度、塗削壁面維持の難易、手感触による含水比、硬度等の差が見分けた。また、土質試験により、三軸圧縮の結果は、自然状態で、 $C = 0$, $\phi = 33.6^\circ$ 、飽和状態で、 $C = 0$, $\phi = 31.7^\circ$ である。

④. 安定解析

今回発生した地震の規模は気象庁によればマグネチュード 7.7 で、秋田、能代で震度 5。地震による加速度は推定式から 140 gal である。また、土木技術資料「日本海中部地震被害調査速報」によれば、強震計による最大加速度は、秋田港で 209、八郎潟で 175 gal である。いずれにしても今回の地震で地蔵脇地区の砂層に作用した最大加速度としては 140 ~ 210 gal を考えるのが妥当であり、水平震度として、 $K_h = 0.14 \sim 0.21$ を考える必要がある。

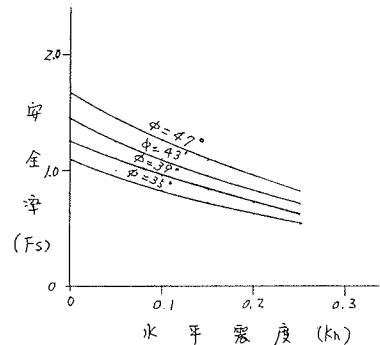


図-6 $F_s - K_h$ の相關図

地震時の斜面の安定解析には水平震度 K_h を考慮に入れた Janbu 法を用いた。崩壊面としては、斜面調査用簡易貫入試験における $\gamma C = 2$ の深さをとった。計算結果を図-7 に示す。今回の地震では地震観測結果から水平震度として、0.14 ~ 0.21 が考えられ、地震崩壊時の安全率として、0.7 ~ 0.9 と推定される。したがって、今回の崩壊地での（斜面傾斜角が 35 ~ 40 の範囲の斜面）内部摩擦角が斜面傾斜角よりやや大きめの強度をもつ砂層が、安全率でおよそ 1.0 ~ 1.4 の範囲で平衡を保っていたのが震度 7（水平震度 0.14 ~ 0.21）の地震により、安全率が 0.6 ~ 0.9 と低下し、がれ崩れが発生したものと思われる。

5.まとめ

- ①. 日本海中部地震による被災した斜面と非災斜面の間ににおける違いとして一つは斜面の平均傾斜があげられる。被災した斜面は 30° 以上、非災斜面は 30° 以下である。
- ②. 被災斜面は、斜面形状を変える人工的手が大なり小なり加えられていたが、なかでも斜面脚部における切きはすべての斜面について行はれていた経緯がある。
- ③. 被災斜面の災害現象としては、頭部亀裂が明瞭で、亀裂下方斜面形状はそれほど旧地形と変わらず、末端部が全体に押し出された形状である。
- ④. 頭部亀裂の発達は傾斜変換点に位置し、傾斜変換ラインに沿って連續する。
- ⑤. 崩壊末端部は押し出した土砂が平場に押し出し D 形状ないしは平場近くの旧斜面に乗り止、たまの Z 形状があり、災害現象からは比較的浅い層の板状すべりと推定される。